

## Ch.4 混合モデルと近似推論.

### §4.1 混合モデルと事後分布の推論

- ・ 現実世界の複雑なデータ生成過程を記述するのに、単純なモデルでは表現しきれない.

→ **混合モデル**: 複数のモデルを組み合わせて使う.

#### 4.1.1 混合モデルを使う理由

- ・ データのクラスやトレンドが複数個あるとき、一つのモデルでは表現できない
- ・ 他の確率モデルと組み合わせやすい.

#### 4.1.2 混合モデルのデータ生成過程

$K$  クラスからなるデータ  $\mathcal{X} = \{x_1, \dots, x_N\}$  の生成過程を、次の

モデル (**生成モデル**) で記述してみる:

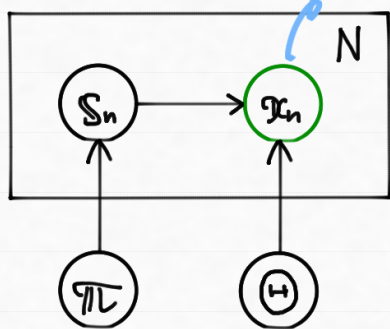
##### 1. 各クラスの混合比率

$$\pi = \begin{pmatrix} \pi_1 \\ \vdots \\ \pi_K \end{pmatrix} \quad \pi_k \in (0, 1), \quad \sum_{k=1}^K \pi_k = 1$$

が事前分布  $p(\pi)$  から生成.

2. 各クラス  $k = 1, \dots, K$  に対する観測モデル  $p(x| \theta_k)$  のパラメータ  $\theta_k$  か、事前分布  $p(\theta_k)$  から生成.
3. 各  $n = 1, \dots, N$  に対して,  $x_n$  に対応するクラスを割り当て  $s_n$  (潜在変数) か 比率  $\pi$  を利用して  $p(s_n | \pi)$  から生成.  
 ↳ この変数は直接観測することはない.
4. 各  $n = 1, \dots, N$  に対して,  $s_n$  で選ばれた  $k$  番目のモデル  $p(x| \theta_k)$  から  $x_n$  が生成.

・ グラフィカルモデル:



$$\Theta := \{\theta_1, \dots, \theta_K\}.$$

\* 上の生成モデルをより具体的に書いてみる.

◦ 4. について.

混合Gaussモデル

観測モデル  $p(x| \theta_k)$  を Gauss 分布にしてみる:

$$x_n \sim p(x_n | \theta_k) := \mathcal{N}(x_n | \mu_k, \Sigma_k) \quad (k = 1, \dots, K).$$

$$(\theta_k := \{\mu_k, \Sigma_k\}.)$$

• 3.1について.

$S_n = 1$  of  $K$  表現を使い. これはカテゴリ分布からのサンプリングでOK:

$$S_n = \begin{pmatrix} S_{n,1} \\ \vdots \\ S_{n,K} \end{pmatrix} \sim p(S_n | \pi) := \text{Cat}(S_n | \pi)$$

( $\pi$ : 混合比率パラメータ)

→ 3と4をあわせて.

$$x_n \sim p(x_n | S_n, \Theta) = \prod_{k=1}^K p(x_n | \theta_k)^{S_{n,k}}$$

$$(\Theta = \{\theta_1, \dots, \theta_K\})$$

と書ける.

• 2.1について.

$\theta_k$  の事前分布  $p(\theta_k)$  を定める:  $\theta_k \sim p(\theta_k)$ .

4.で設定したモデル  $p(x_n | \theta_k)$  の共役事前分布をとるのが良い.

ここでは, Gauss分布を設定しているので, Gauss-Wishart分布:

$$p(\theta_k) := \text{NW}(\mu_k, \Sigma_k | m, \beta, \nu, W).$$

• 1について.

$\pi$  の事前分布  $p(\pi)$  を定める:  $\pi \sim p(\pi)$ .

$\pi$ : カテゴリ分布のパラメータなので、この天役事前分布である

$K$ 次元 Dirichlet 分布に設定.

$$p(\pi) := \text{Dir}(\pi | \alpha) \quad (\alpha: \text{ハイパーパラメータ})$$

• 以上より,  $\mathcal{S} := \{s_1, \dots, s_N\}$  とし, モデルの全体像は次のとおり:

$$\begin{aligned} & p(\mathcal{X}, \mathcal{S}, \Theta, \pi) \\ &= p(\mathcal{X} | \mathcal{S}, \Theta, \pi) p(\mathcal{S} | \Theta, \pi) p(\Theta | \pi) p(\pi) \\ &= p(\mathcal{X} | \mathcal{S}, \Theta) p(\mathcal{S} | \pi) p(\Theta) p(\pi) \quad \downarrow \text{独立性} \\ &= \left( \prod_{n=1}^N p(x_n | s_n, \Theta) p(s_n | \pi) \right) \left( \prod_{k=1}^K p(\theta_k) \right) p(\pi). \end{aligned}$$

#### 4.1.3 混合モデルの事後分布.

•  $\mathcal{X}$ : given.

$\mathcal{S}, \Theta, \pi$  の事後分布

$$p(\mathcal{S}, \Theta, \pi | \mathcal{X}) = \frac{p(\mathcal{X}, \mathcal{S}, \Theta, \pi)}{p(\mathcal{X})},$$

あるいは, データ  $\mathcal{X}$  の所属クラス  $\mathcal{S}$  の推定を行うために

$$p(\mathcal{S} | \mathcal{X}) = \iint p(\mathcal{S}, \Theta, \pi | \mathcal{X}) d\Theta d\pi$$

を計算した.

→ 混合モデルで、これらの計算は効率的にできない!

∴ 事後分布は  $\mathcal{S}, \Theta, \pi$  が複雑に絡みあった分布で、

$p(\mathcal{X})$  の計算が困難:

$$\begin{aligned} p(\mathcal{X}) &= \sum_{\mathcal{S}} \iint p(\mathcal{X}, \mathcal{S}, \Theta, \pi) d\Theta d\pi \\ &= \sum_{\mathcal{S}} p(\mathcal{X}, \mathcal{S}). \end{aligned}$$

周辺化

$\sum_{\mathcal{S}}$  は、 $\mathcal{S} = \{s_1, \dots, s_N\}$  としてとりうる組合せ全てについての和。

$s_k$  のバリエーションは  $K$  通り。  $N$  をあわせて  $\mathcal{S}$  の組合せは  $K^N$  通り。

機械学習で用いるデータは  $N$ : 大 であることが多いので

この計算は現実的な時間で終わらない。

## §4.2 確率分布の近似手法.

- **近似推論** (approximate inference):

直接  $p(\mathbf{x})$  の計算をするのは諦めて, 簡単な計算で済ませる枠組み.

### 4.2.1 Gibbsサンプリング

$\mathbf{z} = (z_1, \dots, z_M)^T$ .  $p(\mathbf{z})$  に関して, 期待値計算などを行いたい.

→  $\mathbf{z}$  の実現値を複数個サンプルして計算する:

$$\mathbf{z}^{(i)} \sim p(\mathbf{z}) \quad (i = 1, 2, \dots)$$

- 分布  $p(\mathbf{z})$  が複雑だと, 全変数と同時にサンプルするのは困難.

→ **Gibbsサンプリング** (MCMCの手法の一つ)

$i$  個目の変数  $\mathbf{z}^{(i)}$  の各成分  $z_m^{(i)}$  を次のように一つずつサンプリング:

```
for  $i = 1, 2, \dots, N_{\max}$  do
   $z_1^{(i)} \sim p(z_1 | z_2^{(i-1)}, z_3^{(i-1)}, \dots, z_M^{(i-1)})$ ;
   $z_2^{(i)} \sim p(z_2 | z_1^{(i)}, z_3^{(i-1)}, \dots, z_M^{(i-1)})$ ;
   $\vdots$ 
   $z_M^{(i)} \sim p(z_M | z_1^{(i)}, z_2^{(i)}, \dots, z_{M-1}^{(i)})$ 
end for.
```

*Handwritten notes:*  
-  $z_2^{(0)}, \dots, z_M^{(0)}$  についてはランダムに与えておく.  
-  $z_3^{(i)}$  ではない!

- Gibbsサンプリングのアイデア:

$z_m$  をサンプリングするために、既にサンプリングされた値で分布を条件付けて、よりサンプリングしやすい分布を得る。

- Gibbsサンプリングによりサンプリングされた  $z_m$  は、サンプル数  $n$  が十分なら真の事後分布からサンプリングされたものとみなせる (ことが知られている)。

- 問題点: 推論に必要なサンプル数  $n$  が明確でない。

→ サンプル点  $n$  がとれた"けうま"く真の分布を表しているのかを知らることができない (可視化が一般にできないため)。

- \* Gibbsサンプリングの変種

- **ブロック Gibbsサンプリング**

$z = (z_1^T, \dots, z_k^T)^T$  とブロックに分かれているとする。

各  $z_k$  の全成分は同時にサンプリングできるとする。

このとき、 $i$  個目の変数  $z^{(i)}$  の各ブロック  $z_k^{(i)}$  を、

通常の Gibbsサンプリングのように、一つずつサンプリングする。

擬似コードで表すと、次のとおり:

```

for  $i = 1, 2, \dots, N_{\max}$  do
   $\mathbb{Z}_1^{(i)} \sim p(\mathbb{Z}_1 | \mathbb{Z}_2^{(i-1)}, \mathbb{Z}_3^{(i-1)}, \dots, \mathbb{Z}_K^{(i-1)});$ 
   $\mathbb{Z}_2^{(i)} \sim p(\mathbb{Z}_2 | \mathbb{Z}_1^{(i)}, \mathbb{Z}_3^{(i-1)}, \dots, \mathbb{Z}_K^{(i-1)});$ 
   $\vdots$ 
   $\mathbb{Z}_K^{(i)} \sim p(\mathbb{Z}_K | \mathbb{Z}_1^{(i)}, \mathbb{Z}_2^{(i)}, \dots, \mathbb{Z}_{K-1}^{(i)});$ 
end for.

```

✓ ブロックごとの変数の同時サンプリング

→ より真の事後分布に近いサンプルが得られる。

△ サンプリングに使う各条件付き分布が、計算コスト的に十分に簡単にサンプリングできる必要がある。

• 崩壊型 Gibbs サンプリング

$\mathbb{Z} = (\mathbb{Z}_1^T, \mathbb{Z}_2^T)^T$  として、周辺化によりモデルから  $\mathbb{Z}_2$  を減らす:

$$p(\mathbb{Z}_1) = \int p(\mathbb{Z}) d\mathbb{Z}_2. \quad (*)$$

$p(\mathbb{Z}_1)$  について、通常の Gibbs サンプリングを行う。

✓ サンプルする変数が少なく、高速にサンプリングできる。

△ (\*) の計算が解析的にできなければならない。

△ 減らした  $\mathbb{Z}_2$  のサンプリングが容易に行える必要がある。



## 4.2.2 変分推論

- **変分推論** (variational inference):

最適化問題を解いて、未知の確率分布の近似的な表現を得る。

- $p(\mathbf{z})$ : 近似表現を得たい複雑な分布。

→  $p$  をより簡単な分布  $q(\mathbf{z})$  で近似する。 「分布  $q$  が  $p$  とどかに近似しているか」

→  $q_{\text{opt}}(\mathbf{z}) := \underset{q}{\operatorname{argmin}} \text{KL}[q(\mathbf{z}) \| p(\mathbf{z})]$  (\*)

となるように  $q_{\text{opt}}(\mathbf{z})$  を選ぶことよ。

- (\*) を制約なしで解くと、 $q_{\text{opt}} = p$  となり意味がな。

→  $q$  の表現能力を限定し、このもとで最適化する。

- **平均場近似** (mean-field approximation) に基づく変分推論。

$q$  に独立性を仮定する, i.e., 次式で  $p$  を近似:

$$p(\mathbf{z}) \approx \prod_{m=1}^M q_m(z_m)$$

→ 各  $q_m$  を, KL divergence が小さくなるように

→ → 更新していく。

- $q_m$  ( $m=2, \dots, M$ ): given とする。このとき、最適な  $q_1$  は、

$$q_1^*(z_1) := \underset{q_1}{\operatorname{argmin}} \text{KL}[q_1(z_1) \prod_{m \neq 1} q_m(z_m) \| p(\mathbf{z})]$$

で求める. KL divergence を計算してみる.

$$\mathbb{E}_{q_1, \dots, q_m}[\cdot] =: \mathbb{E}_{1, \dots, m}[\cdot] \text{ などと書く.}$$

$$\begin{aligned} & \text{KL}[q_1(z_1) \prod_{m \neq 1} q_m(z_m) \| p(z)] \\ &= -\mathbb{E}_{1, \dots, m} \left[ \log \frac{p(z)}{q_1(z_1) \prod_{m \neq 1} q_m(z_m)} \right] \quad \begin{array}{l} \text{期待値を分解.} \\ \text{(定義を考慮はあたりまえ)} \end{array} \\ &= -\mathbb{E}_1 \left[ \mathbb{E}_{2, \dots, m} \left[ \log \frac{p(z)}{q_1(z_1) \prod_{m \neq 1} q_m(z_m)} \right] \right] \quad \text{logの計算} \\ &= -\mathbb{E}_1 \left[ \mathbb{E}_{2, \dots, m} \left[ \log p(z) - \log q_1(z_1) - \underbrace{\sum_{m \neq 1} \log q_m(z_m)}_{\text{const.}} \right] \right] \quad \begin{array}{l} \text{期待値の線形性} \end{array} \\ &= -\mathbb{E}_1 \left[ \mathbb{E}_{2, \dots, m} [\log p(z)] - \mathbb{E}_{2, \dots, m} [\log q_1(z_1)] \right] + \text{const.} \\ & \quad \text{ }_1 \text{ は } q_2 \sim q_m \text{ に依らず} \\ &= -\mathbb{E}_1 \left[ \mathbb{E}_{2, \dots, m} [\log p(z)] - \log q_1(z_1) \right] + \text{const.} \quad \text{log} \circ \text{exp} = \text{id.} \\ &= -\mathbb{E}_1 \left[ \log \left( \exp \left( \mathbb{E}_{2, \dots, m} [\log p(z)] \right) \right) - \log q_1(z_1) \right] + \text{const.} \\ &= -\mathbb{E}_1 \left[ \log \frac{\exp \left( \mathbb{E}_{2, \dots, m} [\log p(z)] \right)}{q_1(z_1)} \right] + \text{const.} \\ &= \text{KL}[q_1(z_1) \| \exp \left( \mathbb{E}_{2, \dots, m} [\log p(z)] \right)] + \text{const.} \end{aligned}$$

これは  $q_1(z_1) = \exp \left( \mathbb{E}_{2, \dots, m} [\log p(z)] \right)$  のとき最小.

$\therefore q_1^*(z_1)$  は次式をみたす:

$$\log q_1^*(z_1) = \mathbb{E}_{2, \dots, m} [\log p(z)] + \text{const.}$$

要するに??

- ・ 残りの分布  $q_m^*(z_m)$  ( $m = 2, \dots, M$ ) についても同様.

$$z_{\setminus m} := (z_1, \dots, z_{m-1}, z_{m+1}, \dots, z_M)^T \quad (m = 1, \dots, M) \text{ とし,}$$

$$\mathbb{E}_{q(z_m)}[\cdot] =: \mathbb{E}_{\setminus m}[\cdot] \text{ と書くことにする.}$$

変分推論のアルゴリズムは次のとおり:

```
[ for m = 2, ..., M do
  initialize  $q_m(z_m)$ 
end for ;
for i = 1, ...,  $N_{\max}$  do
  for m = 1, ..., M do
     $\log q_m(z_m) := \mathbb{E}_{\setminus m}[\log p(z)] + \text{const.}$ 
  end for
end for.
```

- ・ 繰り返し終了条件としては, 上記のように  $N_{\max}$  を設定する

以外にも, 計算時間を制限する, **ELBO** (evidence lower bound)

などの評価値の収束をもって終了する, などの方法がある.

- ・ ELBO については後述.

未観測変数



- 観測データ  $D$  が与えられたときの, 確率モデル  $p(D, z)$  の事後分布  $p(z|D)$  の近似は, 先の計算で  $p(z)$  の部分を  $p(z|D)$  とすればよく,

$$\begin{aligned}\log q_m(z_m) &= \mathbb{E}_{z_m} [\log p(z|D)] + \text{const.} \\ &= \mathbb{E}_{z_m} [\log p(D, z)] + \text{const.}\end{aligned}$$

→  $p(D)$  は const. に

✓ Gibbs サンプルングより高速.

△ 強い相関をもつ分布ではうまく近似できない.

- 構造化変分推論 (structured variational inference)

$$p(z) \approx \prod_{k=1}^K q_{\mu_k}(z_k)$$

のように, 大きなまとまりで近似する.

✓ 変数間の相関をとらえることができ, より近似になる.

△ メモリコスト, 計算コストの増加.

cf. ELBO について.

- 変分推論: 周辺尤度の下限の最大化アルゴリズムとも考えることができる.

- 観測データの, 未観測変数  $\mathbf{z} = (z_1, \dots, z_n)^T$  について,  
確率モデル  $p(\mathcal{D}, \mathbf{z})$  を考え,  $\mathbf{z}$  についての分布  $q(\mathbf{z})$  を  
仮定する.

Thm. (Jensenの不等式)

$X$ : r.v.  $X \sim p(x)$ ,  $f: \mathbb{R} \rightarrow \mathbb{R}$ : 凸関数.

このとき,  $f(\mathbb{E}_p[X]) \leq \mathbb{E}_p[f(X)]$ . □

pf.  $f$ : 凸関数 より,  $\forall \alpha_0 \in \mathbb{R}$ ,

$$f(x) \geq f(\alpha_0) + f'(\alpha_0)(x - \alpha_0), \forall x \in \mathbb{R}.$$

「接線はもぐらつか  
上にくさ」

$\alpha_0$  を  $X$  として期待値をとると,

$$\mathbb{E}_p[f(X)] \geq f(\alpha_0) + f'(\alpha_0)(\mathbb{E}_p[X] - \alpha_0).$$

$\alpha_0 = \mathbb{E}_p[X]$  とする.

$$f(\mathbb{E}_p[X]) \leq \mathbb{E}_p[f(X)].$$
 ▣

[Claim]  $-\log$  は 凸関数.

pf. 分母. ▣

Cor.  $X$ : r.v.  $X \sim p(x)$ ,

このとき,  $\log \mathbb{E}_p[X] \geq \mathbb{E}_p[\log X]$ . □

この不等式を用いると、モデルの周辺尤度  $p(\mathcal{D})$  の対数について、

下限を計算できる:

$$\begin{aligned} & \log p(\mathcal{D}) \\ &= \log \left( \int p(\mathcal{D}, \mathbf{z}) d\mathbf{z} \right) \quad \text{周辺化} \\ &= \log \left( \int \frac{p(\mathcal{D}, \mathbf{z})}{q(\mathbf{z})} q(\mathbf{z}) d\mathbf{z} \right) \quad \text{期待値の定義} \\ &= \log \mathbb{E}_q \left[ \frac{p(\mathcal{D}, \mathbf{z})}{q(\mathbf{z})} \right] \quad \text{Jen Cor.} \\ &\geq \mathbb{E}_q \left[ \log \frac{p(\mathcal{D}, \mathbf{z})}{q(\mathbf{z})} \right] \quad \text{期待値の定義} \\ &= \int q(\mathbf{z}) \log \frac{p(\mathcal{D}, \mathbf{z})}{q(\mathbf{z})} d\mathbf{z} \\ &=: \mathcal{L}[q(\mathbf{z})] \end{aligned}$$

Def. (ELBO)

対数周辺尤度の下限  $\mathcal{L}[q(\mathbf{z})]$  を分布  $q(\mathbf{z})$  に対する

ELBO という。

□

→  $\mathcal{L}[q(\mathbf{z})]$  をなるべく大きくする  $q(\mathbf{z})$  を求めることで、 $\log p(\mathcal{D})$  を近似的に計算できる。

$\log p(\mathcal{D})$  が最大となる  $q$  を選んでいるわけではない。  
 $\mathcal{L}[q(\mathbf{z})]$  が  $\log p(\mathcal{D})$  と一番近い  $q$  を選んでいる。

→  $q^*(\mathbf{z}) := \operatorname{argmax}_q \mathcal{L}[q(\mathbf{z})]$  により  $q$  を選択する。

Prop.  $\log p(\mathcal{D}) - \mathcal{L}[q(\mathbf{z})] = \text{KL}[q(\mathbf{z}) \| p(\mathbf{z}|\mathcal{D})]$ . □

pf.  $\log p(\mathcal{D}) - \mathcal{L}[q(\mathbf{z})]$  ↓ by def.

$$= \log p(\mathcal{D}) - \int q(\mathbf{z}) \log \frac{p(\mathcal{D}, \mathbf{z})}{q(\mathbf{z})} d\mathbf{z}$$

↓  $p(\mathcal{D}, \mathbf{z}) = p(\mathbf{z}|\mathcal{D})p(\mathcal{D})$

$$= \log p(\mathcal{D}) - \int q(\mathbf{z}) \log \frac{p(\mathbf{z}|\mathcal{D})p(\mathcal{D})}{q(\mathbf{z})} d\mathbf{z}$$

↓ log の計算

$$= \log p(\mathcal{D}) - \int q(\mathbf{z}) \left( \log \frac{p(\mathbf{z}|\mathcal{D})}{q(\mathbf{z})} + \log p(\mathcal{D}) \right) d\mathbf{z}$$

$$= \cancel{\log p(\mathcal{D})} - \int q(\mathbf{z}) \log \frac{p(\mathbf{z}|\mathcal{D})}{q(\mathbf{z})} d\mathbf{z} - \cancel{\log p(\mathcal{D})} \int q(\mathbf{z}) d\mathbf{z}$$

=  $\text{KL}[q(\mathbf{z}) \| p(\mathbf{z}|\mathcal{D})]$       = 1

$$= \text{KL}[q(\mathbf{z}) \| p(\mathbf{z}|\mathcal{D})].$$

▣

•  $\log p(\mathcal{D})$  は  $\mathcal{D}$ : given  $t$ 's 一定値.

以上より,  $\mathcal{L}[q(\mathbf{z})]$  が最大となる  $q$  を選ぶのと,

$\text{KL}[q(\mathbf{z}) \| p(\mathbf{z}|\mathcal{D})]$  が最小となる  $q$  を選ぶのは等価.

## §4.3 Poisson混合モデルにおける推論.

### 4.3.1 Poisson混合モデル

- ・ 多峰性の離散非負データの学習に利用できる.

- ・  $\lambda := \{\lambda_1, \dots, \lambda_K\}$  : パラメータ.

クラスタ  $k$  に対する観測モデル:  $p(x_n | \lambda_k) := \text{Poi}(x_n | \lambda_k)$ .

→ 混合分布における条件付き分布は,

$$p(x_n | s_n, \lambda) = \prod_{k=1}^K \text{Poi}(x_n | \lambda_k)^{s_{n,k}}$$

$s_n$  により,  $K$  の Poisson 分布の一つ  $\lambda_k$  指定される.

- ・  $\lambda$  に対して, 事前分布を設定する.

Poisson 分布の共役事前分布 → ガンマ分布.

$$p(\lambda_k) := \text{Gam}(\lambda_k | a, b), \quad a, b : \text{パラメータ.}$$

クラスターごとに  
 $a_k, b_k$  とパラメータを  
置いておくと良い.

- ・  $s$  に対する事前分布は,  $p(s_n | \pi) := \text{Cat}(s_n | \pi)$ ,

$$\pi \text{ に対する事前分布は, } p(\pi) := \text{Dir}(\pi | \alpha)$$

$$(\alpha : \text{パラメータ})$$

と設定することにする.



Remark モデルを構築した後は、データの表現能力や挙動について、  
 思い違いやミスがないかを確認するため、いくつかのハイパーパラメータ  
 を使ってサンプルを得てみて、視覚的に確認してみるとよい。  
 問題によっては、事前知識を与えることもできるかも。

### 4.3.2 Gibbs サンプリング

- $\mathcal{X} = \{x_1, \dots, x_N\}$  : given. このとき、条件付き分布は、  
 $p(S, \pi, \lambda | \mathcal{X})$ . この分布から  $S, \pi, \lambda$  をサンプルする  
 アルゴリズムを、Gibbs サンプリングにより導出。
- 混合分布では、潜在変数と分布のパラメータを分けてサンプリング  
 すると、十分に簡単な分布が得られる(らしい).

→ 次のようにサンプリングすることにする:

$$S^{(i)} \sim p(S | \pi^{(i-1)}, \lambda^{(i-1)}, \mathcal{X}) \quad - (1)$$

$$\pi^{(i)}, \lambda^{(i)} \sim p(\pi, \lambda | S^{(i)}, \mathcal{X}) \quad - (2)$$

- (1) について、 $S^{(i)} = \{s_1^{(i)}, \dots, s_N^{(i)}\}$  をサンプルするための

条件付き分布  $p(S | \pi^{(i-1)}, \lambda^{(i-1)}, \mathcal{X})$  を求める。

↳ given とは根拠がなければ.

$$\begin{aligned}
& p(\mathcal{S} | \pi^{(i-1)}, \lambda^{(i-1)}, \mathcal{X}) \\
& \propto p(\mathcal{S}, \pi^{(i-1)}, \lambda^{(i-1)}, \mathcal{X}) \quad \downarrow \text{乗法則} \\
& = p(\mathcal{X} | \mathcal{S}, \pi^{(i-1)}, \lambda^{(i-1)}) p(\mathcal{S} | \pi^{(i-1)}, \lambda^{(i-1)}) \underbrace{p(\pi^{(i-1)}, \lambda^{(i-1)})}_{\text{const.}} \\
& \propto p(\mathcal{X} | \mathcal{S}, \lambda^{(i-1)}) p(\mathcal{S} | \pi^{(i-1)}) \quad \downarrow \text{独立性} \\
& = \left( \prod_{n=1}^N p(x_n | \mathcal{S}, \lambda^{(i-1)}) \right) \left( \prod_{n=1}^N p(s_n | \pi^{(i-1)}) \right) \quad \downarrow x_n \text{には } s_n \text{ の情報しか使わない} \\
& = \left( \prod_{n=1}^N p(x_n | s_n, \lambda^{(i-1)}) \right) \left( \prod_{n=1}^N p(s_n | \pi^{(i-1)}) \right) \\
& = \prod_{n=1}^N p(x_n | s_n, \lambda^{(i-1)}) p(s_n | \pi^{(i-1)})
\end{aligned}$$

→ 各  $s_n^{(i)}$  が独立にサンプリングできる (条件付き独立性).

•  $s_n^{(i)}$  をサンプリングするための確率分布を計算. 対数をとってやる.

$$p(x_n | s_n, \lambda^{(i-1)}) = \prod_{k=1}^K \text{Poi}(x_n | \lambda_k^{(i-1)})^{s_{n,k}} \quad T \neq n \text{ 時}$$

$$\begin{aligned}
& \log p(x_n | s_n, \lambda^{(i-1)}) \\
& = \sum_{k=1}^K s_{n,k} \log \text{Poi}(x_n | \lambda_k^{(i-1)}) \\
& = \sum_{k=1}^K s_{n,k} (x_n \log \lambda_k^{(i-1)} - \lambda_k^{(i-1)}) + \text{const.}
\end{aligned}$$

また,

$$\log p(s_n | \pi^{(i-1)}) = \log \text{Cat}(s_n | \pi^{(i-1)}) = \sum_{k=1}^K s_{n,k} \log \pi_k.$$

→ あわせて,

$$\begin{aligned}
& \log p(x_n | s_n, \lambda^{(i-1)}) p(s_n | \pi \tau^{(i-1)}) \\
&= \log p(x_n | s_n, \lambda^{(i-1)}) + \log p(s_n | \pi \tau^{(i-1)}) \\
&= \sum_{k=1}^K s_{n,k} (x_n \log \lambda_k^{(i-1)} - \lambda_k^{(i-1)}) + \sum_{k=1}^K s_{n,k} \log \tau_k^{(i-1)} + \text{const.} \\
&= \sum_{k=1}^K s_{n,k} (x_n \log \lambda_k^{(i-1)} - \lambda_k^{(i-1)} + \log \tau_k^{(i-1)}) + \text{const.}
\end{aligned}$$

制約  $\sum_{k=1}^K s_{n,k} = 1$  を考慮すると, これは  $s_n$  に関する

カテゴリ分布 (の定数倍) の対数をとったもの.

$$\therefore s_n^{(i)} \sim \text{Cat}(s_n | \eta_n^{(i)}),$$

$$\eta_{n,k}^{(i)} \propto \exp(x_n \log \lambda_k^{(i-1)} - \lambda_k^{(i-1)} + \log \tau_k^{(i-1)}), \quad \sum_{k=1}^K \eta_{n,k}^{(i)} = 1.$$

- (2) により,  $\pi \tau^{(i)}, \lambda^{(i)} = \{\lambda_1^{(i)}, \dots, \lambda_k^{(i)}\}$  をサンプルするための

条件付き分布  $p(\pi \tau, \lambda | \mathcal{S}^{(i)}, \mathcal{X})$  を求める。  
↳ given とする.

先の式変形と同様にして,

$$\begin{aligned}
& p(\pi \tau, \lambda | \mathcal{S}^{(i)}, \mathcal{X}) \\
&\propto p(\pi \tau, \lambda, \mathcal{S}^{(i)}, \mathcal{X}) \quad \downarrow \text{乗法則} \\
&= p(\mathcal{X} | \pi \tau, \lambda, \mathcal{S}^{(i)}) p(\mathcal{S}^{(i)} | \pi \tau, \lambda) p(\pi \tau | \lambda) p(\lambda) \\
&= p(\mathcal{X} | \mathcal{S}^{(i)}, \lambda) p(\mathcal{S}^{(i)} | \pi \tau) p(\pi \tau) p(\lambda) \quad \downarrow \text{独立性} \\
&= \underbrace{p(\mathcal{X} | \mathcal{S}^{(i)}, \lambda) p(\lambda)}_{\lambda \text{ に関する項}} \underbrace{p(\mathcal{S}^{(i)} | \pi \tau) p(\pi \tau)}_{\pi \tau \text{ に関する項}}.
\end{aligned}$$

→  $S^{(i)}, \mathcal{X}$ : given のもとで,  $\pi$  と  $\lambda$  は条件付き独立.

別々にサブリングを行える.

•  $\lambda$  の分布  $p(\lambda | S^{(i)}, \mathcal{X}) \propto p(\mathcal{X} | S^{(i)}, \lambda) p(\lambda)$  により.

対数をとって計算していく.

$$\begin{aligned} & \log p(\lambda | S^{(i)}, \mathcal{X}) \\ &= \log p(\mathcal{X} | S^{(i)}, \lambda) p(\lambda) + \text{const.} \\ &= \log p(\mathcal{X} | S^{(i)}, \lambda) + \log p(\lambda) + \text{const.} \\ &= \sum_{n=1}^N \log p(x_n | s_n^{(i)}, \lambda) + \sum_{k=1}^K \log p(\lambda_k) + \text{const.} \\ &= \sum_{n=1}^N \log \left( \prod_{k=1}^K \text{Poi}(x_n | \lambda_k)^{S_{n,k}^{(i)}} \right) + \sum_{k=1}^K \log \text{Gam}(\lambda_k | a, b) + \text{const.} \\ &= \sum_{n=1}^N \sum_{k=1}^K S_{n,k}^{(i)} \log \text{Poi}(x_n | \lambda_k) + \sum_{k=1}^K \log \text{Gam}(\lambda_k | a, b) + \text{const.} \\ &= \sum_{k=1}^K \left( \sum_{n=1}^N S_{n,k}^{(i)} (x_n \log \lambda_k - \lambda_k) + (a-1) \log \lambda_k - b \lambda_k \right) + \text{const.} \\ &= \sum_{k=1}^K \left( \left( \sum_{n=1}^N S_{n,k}^{(i)} x_n + a - 1 \right) \log \lambda_k - \left( \sum_{n=1}^N S_{n,k}^{(i)} + b \right) \lambda_k \right) + \text{const.} \end{aligned}$$

← ガンマ分布のpdfの対数をとった形.

$$\therefore p(\lambda | S^{(i)}, \mathcal{X}) = \prod_{k=1}^K \text{Gam}(\lambda_k | \hat{a}_k, \hat{b}_k),$$

$$\hat{a}_k := \sum_{n=1}^N S_{n,k}^{(i)} x_n + a, \quad \hat{b}_k := \sum_{n=1}^N S_{n,k}^{(i)} + b \quad \text{と書ける.}$$

← 各  $\lambda_k$  は独立.

つまり, 各  $k = 1, \dots, K$  に対して,

$$\lambda_k^{(i)} \sim \text{Gam}(\lambda_k | \hat{a}_k, \hat{b}_k),$$

$$\hat{a}_k = \sum_{n=1}^N S_{n,k}^{(i)} \alpha_n + a, \quad \hat{b}_k = \sum_{n=1}^N S_{n,k}^{(i)} + b$$

とサンプリングができればよい.

•  $\pi$  の分布  $p(\pi | S^{(i)}, \mathcal{X}) \propto p(S^{(i)} | \pi) p(\pi)$  になる.

これを, 対数をとって計算していく.

$$\begin{aligned} & \log p(\pi | S^{(i)}, \mathcal{X}) \\ &= \log p(S^{(i)} | \pi) p(\pi) + \text{const.} \\ &= \log p(S^{(i)} | \pi) + \log p(\pi) + \text{const.} \\ &= \log \left( \prod_{n=1}^N p(s_n^{(i)} | \pi) \right) + \log p(\pi) + \text{const.} \\ &= \sum_{n=1}^N \log \text{Cat}(s_n^{(i)} | \pi) + \log \text{Dir}(\pi | \alpha) + \text{const.} \\ &= \sum_{n=1}^N \log \left( \prod_{k=1}^K \pi_k^{S_{n,k}^{(i)}} \right) + \sum_{k=1}^K (\alpha_k - 1) \log \pi_k + \text{const.} \\ &= \sum_{k=1}^K \left( \sum_{n=1}^N S_{n,k}^{(i)} + \alpha_k - 1 \right) \log \pi_k + \text{const.} \end{aligned}$$

Dirichlet分布のpdfの対数をとった形.

$\therefore \pi^{(i)}$  は, 以下のDirichlet分布からサンプリングできる:

$$\pi^{(i)} \sim \text{Dir}(\pi | \hat{\alpha}), \quad \hat{\alpha}_k := \sum_{n=1}^N S_{n,k}^{(i)} + \alpha_k \quad (k = 1, \dots, K).$$

• 以上より, Gibbs sampling のアルゴリズムは次のとおり:

```
[  $\lambda^{(0)}, \pi^{(0)}$  をランダムに生成;  
for  $i = 1, \dots, N_{\max}$  do  
  for  $n = 1, \dots, N$  do  
     $\eta_{n,k} \propto \exp(x_n \log \lambda_k^{(i-1)} - \lambda_k^{(i-1)} + \log \pi_k^{(i-1)})$   
    ( $k = 1, \dots, K$ ),  $\sum_{k=1}^K \eta_{n,k} = 1$  とする  $\eta_n$  を生成;  
     $s_n^{(i)} \sim \text{Cat}(s_n | \eta_n)$   
  end for;  
  for  $k = 1, \dots, K$  do  
     $\hat{a}_k := \sum_{n=1}^N s_{n,k}^{(i)} x_n + a$ ;  $\hat{b}_k := \sum_{n=1}^N s_{n,k}^{(i)} + b$ ;  
     $\lambda_k^{(i)} \sim \text{Gam}(\lambda_k | \hat{a}_k, \hat{b}_k)$   
  end for;  
   $\hat{\alpha}_k := \sum_{n=1}^N s_{n,k}^{(i)} + \alpha_k$  ( $k = 1, \dots, K$ ) とする  $\hat{\alpha}$  を生成;  
   $\pi^{(i)} \sim \text{Dir}(\pi | \hat{\alpha})$   
end for.
```

### 4.3.3 変分推論

- $p(\mathcal{S}, \pi, \lambda | \mathcal{X}) \approx q(\mathcal{S})q(\pi, \lambda)$  と,

潜在変数と分布のパラメータを分けて近似

(変分 Bayes EM アルゴリズム)

- $q(\mathcal{S})$  について.

4.2.2 の公式を利用すると.

$$\begin{aligned} & \log q(\mathcal{S}) \\ &= \mathbb{E}_{q(\lambda, \pi)} [\log p(\mathcal{S}, \pi, \lambda, \mathcal{X})] + \text{const.} \\ &= \mathbb{E}_{q(\lambda, \pi)} [\log p(\mathcal{X} | \mathcal{S}, \pi, \lambda)] + \mathbb{E}_{q(\lambda, \pi)} [\log p(\mathcal{S} | \pi, \lambda)] \\ & \quad + \underbrace{\mathbb{E}_{q(\lambda, \pi)} [\log p(\pi, \lambda)]}_{\text{const.}} + \text{const.} \quad \downarrow \text{独立性} \\ &= \mathbb{E}_{q(\lambda, \pi)} [\log p(\mathcal{X} | \mathcal{S}, \lambda)] + \mathbb{E}_{q(\lambda, \pi)} [\log p(\mathcal{S} | \pi)] + \text{const.} \\ &= \int q(\lambda, \pi) \log p(\mathcal{X} | \mathcal{S}, \lambda) d\lambda d\pi \quad \leftarrow \text{積分中, } \pi \text{ はここには現れない. } \int q(\lambda, \pi) d\pi = q(\lambda). \\ & \quad + \int q(\lambda, \pi) \log p(\mathcal{S} | \pi) d\lambda d\pi + \text{const.} \quad \leftarrow \text{積分中, } \lambda \text{ はここには現れない. } \int q(\lambda, \pi) d\lambda = q(\pi). \\ &= \int q(\lambda) \log p(\mathcal{X} | \mathcal{S}, \lambda) d\lambda + \int q(\pi) \log p(\mathcal{S} | \pi) d\pi + \text{const.} \\ &= \mathbb{E}_{q(\lambda)} [\log p(\mathcal{X} | \mathcal{S}, \lambda)] + \mathbb{E}_{q(\pi)} [\log p(\mathcal{S} | \pi)] + \text{const.} \end{aligned}$$

$$\begin{aligned}
&= \mathbb{E}_{q(\lambda)} \left[ \sum_{n=1}^N \log p(x_n | s_n, \lambda) \right] \\
&+ \mathbb{E}_{q(\pi)} \left[ \sum_{n=1}^N \log p(s_n | \pi) \right] + \text{const.} \quad \begin{array}{l} \text{期待値の} \\ \text{線形性} \end{array} \\
&= \sum_{n=1}^N \left( \mathbb{E}_{q(\lambda)} [\log p(x_n | s_n, \lambda)] + \mathbb{E}_{q(\pi)} [\log p(s_n | \pi)] \right) + \text{const}
\end{aligned}$$

→  $\log q(\mathcal{S})$  は  $s_n$  に関する項の和で書ける.

$$\therefore q(\mathcal{S}) = \prod_{n=1}^N q(s_n) \text{ と書ける.}$$

- $s_n$  に関する項の計算をすすめていく.

$$\begin{aligned}
&\mathbb{E}_{q(\lambda)} [\log p(x_n | s_n, \lambda)] \\
&= \mathbb{E}_{q(\lambda)} \left[ \log \left( \prod_{k=1}^K \text{Poi}(x_n | \lambda_k)^{s_{n,k}} \right) \right] \\
&= \mathbb{E}_{q(\lambda)} \left[ \sum_{k=1}^K s_{n,k} \log \text{Poi}(x_n | \lambda_k) \right] \quad \begin{array}{l} \text{期待値の} \\ \text{線形性} \end{array} \\
&= \sum_{k=1}^K s_{n,k} \mathbb{E}_{q(\lambda)} \left[ \log \text{Poi}(x_n | \lambda_k) \right] \\
&= \sum_{k=1}^K s_{n,k} \mathbb{E}_{q(\lambda_k)} \left[ x_n \log \lambda_k - \lambda_k \right] + \text{const.} \quad \begin{array}{l} \text{期待値の} \\ \text{線形性} \end{array} \\
&= \sum_{k=1}^K s_{n,k} \left( x_n \mathbb{E}_{q(\lambda_k)} [\log \lambda_k] - \mathbb{E}_{q(\lambda_k)} [\lambda_k] \right) + \text{const.}
\end{aligned}$$

↳  $\lambda_k$  のみ出てくる.

また, 第2項についても,



$$\begin{aligned}
& \mathbb{E}_{q(\boldsymbol{\pi})} [\log p(\mathbf{s}_n | \boldsymbol{\pi})] \\
&= \mathbb{E}_{q(\boldsymbol{\pi})} [\log \text{Cat}(\mathbf{s}_n | \boldsymbol{\pi})] \\
&= \mathbb{E}_{q(\boldsymbol{\pi})} \left[ \log \left( \prod_{k=1}^K \pi_k^{S_{n,k}} \right) \right] \\
&= \mathbb{E}_{q(\boldsymbol{\pi})} \left[ \sum_{k=1}^K S_{n,k} \log \pi_k \right] \\
&= \sum_{k=1}^K S_{n,k} \mathbb{E}_{q(\boldsymbol{\pi})} [\log \pi_k].
\end{aligned}$$

期待値の線形性  
↓

$$\begin{aligned}
& \therefore \mathbb{E}_{q(\boldsymbol{\lambda})} [\log p(x_n | \mathbf{s}_n, \boldsymbol{\lambda})] + \mathbb{E}_{q(\boldsymbol{\pi})} [\log p(\mathbf{s}_n | \boldsymbol{\pi})] \\
&= \sum_{k=1}^K S_{n,k} \left( x_n \mathbb{E}_{q(\lambda_k)} [\log \lambda_k] - \mathbb{E}_{q(\lambda_k)} [\lambda_k] + \mathbb{E}_{q(\boldsymbol{\pi})} [\log \pi_k] \right)
\end{aligned}$$

カテゴリ分布の pdf の対数をとった形.

+ const.

$$\begin{aligned}
& \therefore q(\mathbf{s}_n) = \text{Cat}(\mathbf{s}_n | \boldsymbol{\eta}_n), \\
& \eta_{n,k} \propto \exp \left( x_n \mathbb{E}_{q(\lambda_k)} [\log \lambda_k] - \mathbb{E}_{q(\lambda_k)} [\lambda_k] + \mathbb{E}_{q(\boldsymbol{\pi})} [\log \pi_k] \right) \\
& (k=1, \dots, K) \quad \text{p1} \rightarrow \sum_{k=1}^K \eta_{n,k} = 1.
\end{aligned}$$

含まれている期待値計算を行うには、 $q(\boldsymbol{\pi})$ ,  $q(\lambda_k)$  の形を

明らかにする必要があるため、ここは後回し.

•  $q(\boldsymbol{\pi}, \boldsymbol{\lambda})$  について.

$$\begin{aligned}
& \log q(\boldsymbol{\pi}, \boldsymbol{\lambda}) \\
&= \mathbb{E}_{q(\mathcal{S})} [\log p(\mathcal{S}, \boldsymbol{\pi}, \boldsymbol{\lambda}, \mathcal{X})] + \text{const.}
\end{aligned}$$

$$\begin{aligned}
&= \mathbb{E}_{q(s)}[\log p(\mathcal{X} | \mathcal{S}, \pi, \lambda)] + \mathbb{E}_{q(s)}[\log p(\mathcal{S} | \pi, \lambda)] \\
&\quad + \mathbb{E}_{q(s)}[\log p(\pi | \lambda)] + \mathbb{E}_{q(s)}[\log p(\lambda)] + \text{const.} \\
&= \mathbb{E}_{q(s)}[\log p(\mathcal{X} | \mathcal{S}, \lambda)] + \mathbb{E}_{q(s)}[\log p(\mathcal{S} | \pi)] \\
&\quad + \mathbb{E}_{q(s)}[\log p(\pi)] + \mathbb{E}_{q(s)}[\log p(\lambda)] + \text{const.} \\
&= \mathbb{E}_{q(s)}[\log p(\mathcal{X} | \mathcal{S}, \lambda)] + \log p(\lambda) \\
&\quad + \mathbb{E}_{q(s)}[\log p(\mathcal{S} | \pi)] + \log p(\pi) + \text{const.}
\end{aligned}$$

↓ 独立性

→  $\lambda$ に関する項と  $\pi$ に関する項が完全に分離している。

$$\therefore q(\pi, \lambda) = q(\lambda)q(\pi) : \text{独立.}$$

•  $\lambda$ に関する項について.

$$\begin{aligned}
&\log q(\lambda) \\
&= \mathbb{E}_{q(s)}[\log p(\mathcal{X} | \mathcal{S}, \lambda)] + \log p(\lambda) + \text{const.} \\
&= \mathbb{E}_{q(s)}\left[\sum_{n=1}^N \log p(x_n | s_n, \lambda)\right] + \log p(\lambda) + \text{const.} \\
&= \sum_{n=1}^N \mathbb{E}_{q(s)}[\log p(x_n | s_n, \lambda)] + \log p(\lambda) + \text{const.} \\
&= \sum_{n=1}^N \mathbb{E}_{q(s)}[\log p(x_n | s_n, \lambda)] + \log p(\lambda) + \text{const.} \\
&= \sum_{n=1}^N \mathbb{E}_{q(s_n)}[\log p(x_n | s_n, \lambda)] + \log p(\lambda) + \text{const.}
\end{aligned}$$

↓ 期待値の線形性

↓ 期待値をとる  
ものは、 $s_n$ 以外に  
依らない。

$$= \sum_{n=1}^N \mathbb{E}_{q(\mathbf{s}_n)} \left[ \log \left( \prod_{k=1}^K \text{Poi}(x_n | \lambda_k)^{S_{n,k}} \right) \right] + \sum_{k=1}^K \log p(\lambda_k) + \text{const.}$$

$$= \sum_{n=1}^N \mathbb{E}_{q(\mathbf{s}_n)} \left[ \sum_{k=1}^K S_{n,k} \log \text{Poi}(x_n | \lambda_k) \right] + \sum_{k=1}^K \log p(\lambda_k) + \text{const.}$$

期待値、  
線形性 ↓

$$= \sum_{k=1}^K \left( \sum_{n=1}^N \mathbb{E}_{q(\mathbf{s}_n)} [S_{n,k}] \log \text{Poi}(x_n | \lambda_k) + \log \text{Gam}(\lambda_k | a, b) \right) + \text{const.}$$

$$= \sum_{k=1}^K \left( \sum_{n=1}^N \mathbb{E}_{q(\mathbf{s}_n)} [S_{n,k}] (x_n \log \lambda_k - \lambda_k) + (a-1) \log \lambda_k - b \lambda_k \right) + \text{const.}$$

$$= \sum_{k=1}^K \left( \left( \sum_{n=1}^N \mathbb{E}_{q(\mathbf{s}_n)} [S_{n,k}] x_n + a - 1 \right) \log \lambda_k - \left( \sum_{n=1}^N \mathbb{E}_{q(\mathbf{s}_n)} [S_{n,k}] + b \right) \lambda_k \right) + \text{const.}$$

ガンマ分布の pdf の対数とした形

$$\therefore q(\lambda) = \prod_{k=1}^K \text{Gam}(\lambda_k | \hat{a}_k, \hat{b}_k), \quad \text{各 } \lambda_k \text{ は独立.}$$

$$\hat{a}_k := \sum_{n=1}^N \mathbb{E}_{q(\mathbf{s}_n)} [S_{n,k}] x_n + a, \quad \hat{b}_k := \sum_{n=1}^N \mathbb{E}_{q(\mathbf{s}_n)} [S_{n,k}] + b$$

と書ける.

- $\pi$  に関する項について.

$$\log q(\pi)$$

$$= \mathbb{E}_{q(\mathbf{s})} [\log p(\mathcal{S} | \pi)] + \log p(\pi) + \text{const.}$$

$$= \mathbb{E}_{q(\mathbf{s})} \left[ \sum_{n=1}^N \log p(s_n | \pi) \right] + \log p(\pi) + \text{const.}$$

期待値、  
線形性 ↓

$$= \sum_{n=1}^N \mathbb{E}_{q(\mathbf{s}_n)} [\log \text{Cat}(s_n | \pi)] + \log \text{Dir}(\pi | \alpha) + \text{const.}$$

$$= \sum_{n=1}^N \mathbb{E}_{q(\mathbf{s}_n)} \left[ \log \left( \prod_{k=1}^K \tau_k^{S_{n,k}} \right) \right] + \sum_{k=1}^K (\alpha_k - 1) \log \tau_k + \text{Const.}$$

$$= \sum_{n=1}^N \mathbb{E}_{q(\mathbf{s}_n)} \left[ \sum_{k=1}^K S_{n,k} \log \tau_k \right] + \sum_{k=1}^K (\alpha_k - 1) \log \tau_k + \text{Const.}$$

期待値の  
線形性 ↓

$$= \sum_{n=1}^N \sum_{k=1}^K \mathbb{E}_{q(\mathbf{s}_n)} [S_{n,k}] \log \tau_k + \sum_{k=1}^K (\alpha_k - 1) \log \tau_k + \text{Const.}$$

$$= \sum_{k=1}^K \left( \sum_{n=1}^N \mathbb{E}_{q(\mathbf{s}_n)} [S_{n,k}] + \alpha_k - 1 \right) \log \tau_k + \text{Const.}$$

Dirichlet分布のpdfの対数をとった形

$$\therefore q(\boldsymbol{\tau}) = \text{Dir}(\boldsymbol{\tau} | \hat{\boldsymbol{\alpha}}),$$

$$\hat{\alpha}_k := \sum_{n=1}^N \mathbb{E}_{q(\mathbf{s}_n)} [S_{n,k}] + \alpha_k \quad (k=1, \dots, K).$$

→  $q(\lambda_k)$ ,  $q(\boldsymbol{\tau})$  とともに、それぞれ事前分布と同じ種類の分布になった。

• 各種期待値について.

•  $q(\lambda_k) = \text{Gam}(\lambda_k | \hat{a}_k, \hat{b}_k)$  での  $z$ ,

$$\mathbb{E}_{q(\lambda_k)} [\lambda_k] = \frac{\hat{a}_k}{\hat{b}_k}, \quad \mathbb{E}_{q(\lambda_k)} [\log \lambda_k] = \psi(\hat{a}_k) - \log \hat{b}_k.$$

•  $q(\boldsymbol{\tau}) = \text{Dir}(\boldsymbol{\tau} | \hat{\boldsymbol{\alpha}})$  での  $z$ ,

$$\mathbb{E}_{q(\boldsymbol{\tau})} [\log \tau_k] = \psi(\hat{\alpha}_k) - \psi\left(\sum_{i=1}^K \hat{\alpha}_i\right).$$

•  $q(\mathbf{s}_n) = \text{Cat}(\mathbf{s}_n | \boldsymbol{\eta}_n)$  での  $z$ ,

$$\mathbb{E}_{q(\mathbf{s}_n)} [S_{n,k}] = \eta_{n,k}.$$

• 結局, 分布は以下のとおり:

•  $q_f(s_n) = \text{Cat}(s_n | \eta_n),$

$$\eta_{n,k} \propto \exp\left(x_n (\psi(\hat{a}_k) - \log \hat{b}_k) - \frac{\hat{a}_k}{\hat{b}_k} + \psi(\hat{\alpha}_k) - \psi\left(\sum_{i=1}^K \hat{\alpha}_i\right)\right)$$

PI  $\sum_{k=1}^K \eta_{n,k} = 1.$

( $k=1, \dots, K$ )

•  $q_f(\lambda_k) = \text{Gam}(\lambda_k | \hat{a}_k, \hat{b}_k)$

$$\hat{a}_k := \sum_{n=1}^N \eta_{n,k} x_n + a, \quad \hat{b}_k := \sum_{n=1}^N \eta_{n,k} + b.$$

•  $q_f(\pi) = \text{Dir}(\pi | \hat{\alpha}),$

$$\hat{\alpha}_k := \sum_{n=1}^N \eta_{n,k} + \alpha_k \quad (k=1, \dots, K).$$

- 以上より、変分推論のアルゴリズムは次のとおり:

```

[  $q_f(\lambda_k) = \text{Gam}(\lambda_k | \hat{a}_k, \hat{b}_k)$ ,  $q_f(\pi) = \text{Dir}(\pi | \hat{\alpha})$  と initialize;
  for  $i = 1, \dots, N_{\max}$  do ← 適当に上限を設けている
    for  $n = 1, \dots, N$  do
       $\eta_{n,k} \propto \exp\left(x_n(\psi(\hat{a}_k) - \log \hat{b}_k) - \hat{a}_k / \hat{b}_k\right.$ 
         $\left. + \psi(\hat{\alpha}_k) - \psi\left(\sum_{i=1}^K \hat{\alpha}_i\right)\right)$  ( $k = 1, \dots, K$ ),
       $\sum_{k=1}^K \eta_{n,k} = 1$  とする  $\eta_n$  を作る
    end for;
    for  $k = 1, \dots, K$  do
       $\hat{a}_k := \sum_{n=1}^N \eta_{n,k} x_n + a$ ;
       $\hat{b}_k := \sum_{n=1}^N \eta_{n,k} + b$ 
    end for;
     $\hat{\alpha}_k := \sum_{n=1}^N \eta_{n,k} + \alpha_k$  ( $k = 1, \dots, K$ ) とする  $\hat{\alpha}$  を作る;
     $\pi \sim \text{Dir}(\pi | \hat{\alpha})$ 
  end for.

```

- こゝでも、終了条件に ELBO を採用することもできる。

ELBO を計算してみる。

$$\begin{aligned}
 & \mathcal{L}[q] \\
 &= \mathbb{E}_{q(\mathcal{S})q(\pi, \lambda)} \left[ \log \frac{p(\mathcal{S}, \pi, \lambda, \mathcal{X})}{q(\mathcal{S})q(\pi, \lambda)} \right] \quad \downarrow \text{乗法則} \\
 &= \mathbb{E}_{q(\mathcal{S})q(\pi, \lambda)} \left[ \log \frac{p(\mathcal{X}|\mathcal{S}, \pi, \lambda)p(\mathcal{S}|\pi, \lambda)p(\pi|\lambda)p(\lambda)}{q(\mathcal{S})q(\pi, \lambda)} \right] \\
 &= \mathbb{E}_{q(\mathcal{S})q(\pi, \lambda)} \left[ \log \frac{p(\mathcal{X}|\mathcal{S}, \lambda)p(\mathcal{S}|\pi)p(\pi)p(\lambda)}{q(\mathcal{S})q(\pi, \lambda)} \right] \quad \downarrow \text{独立性} \\
 & \quad \downarrow q(\pi, \lambda) = q(\pi)q(\lambda) \\
 &= \mathbb{E}_{q(\mathcal{S})q(\pi)q(\lambda)} \left[ \log \frac{p(\mathcal{X}|\mathcal{S}, \lambda)p(\mathcal{S}|\pi)p(\pi)p(\lambda)}{q(\mathcal{S})q(\pi)q(\lambda)} \right] \quad \begin{array}{l} \downarrow \log \text{の性質と} \\ \downarrow \text{期待値の線形性} \end{array} \\
 &= \mathbb{E}_{q(\mathcal{S})q(\pi)q(\lambda)} \left[ \log p(\mathcal{X}|\mathcal{S}, \lambda) \right] + \mathbb{E}_{q(\mathcal{S})q(\pi)q(\lambda)} \left[ \log p(\mathcal{S}|\pi) \right] \\
 & \quad \downarrow \pi, \lambda = \text{一定} \quad \downarrow \lambda = \text{一定} \\
 & \quad - \mathbb{E}_{q(\mathcal{S})q(\pi)q(\lambda)} \left[ \log q(\mathcal{S}) \right] + \mathbb{E}_{q(\mathcal{S})q(\pi)q(\lambda)} \left[ \log \frac{p(\lambda)}{q(\lambda)} \right] \\
 & \quad \downarrow \pi, \lambda = \text{一定} \quad \downarrow \pi, \lambda = \text{一定} \\
 & \quad + \mathbb{E}_{q(\mathcal{S})q(\pi)q(\lambda)} \left[ \log \frac{p(\pi)}{q(\pi)} \right] \\
 & \quad \downarrow \lambda, \mathcal{S} = \text{一定} \\
 &= \mathbb{E}_{q(\mathcal{S})q(\lambda)} \left[ \log p(\mathcal{X}|\mathcal{S}, \lambda) \right] + \mathbb{E}_{q(\mathcal{S})q(\pi)} \left[ \log p(\mathcal{S}|\pi) \right] \\
 & \quad - \mathbb{E}_{q(\mathcal{S})} \left[ \log q(\mathcal{S}) \right] + \mathbb{E}_{q(\lambda)} \left[ \log \frac{p(\lambda)}{q(\lambda)} \right] + \mathbb{E}_{q(\pi)} \left[ \log \frac{p(\pi)}{q(\pi)} \right]
 \end{aligned}$$

$$\begin{aligned}
&= \mathbb{E}_{q(\omega)q(\lambda)} \left[ \sum_{n=1}^N \log p(x_n | s_n, \lambda) \right] + \mathbb{E}_{q(\omega)q(\pi)} \left[ \sum_{n=1}^N \log p(s_n | \pi) \right] \\
&\quad - \mathbb{E}_{q(\omega)} \left[ \sum_{n=1}^N \log q_f(s_n) \right] - \text{KL}[q_f(\lambda) \| p(\lambda)] \\
&\quad - \text{KL}[q_f(\pi) \| p(\pi)] \\
&= \sum_{n=1}^N \mathbb{E}_{q(s_n)q(\lambda)} \left[ \log p(x_n | s_n, \lambda) \right] + \sum_{n=1}^N \mathbb{E}_{q(s_n)q(\pi)} \left[ \log p(s_n | \pi) \right] \\
&\quad - \sum_{n=1}^N \mathbb{E}_{q(s_n)} \left[ \log q_f(s_n) \right] - \text{KL}[q_f(\lambda) \| p(\lambda)] \\
&\quad - \text{KL}[q_f(\pi) \| p(\pi)].
\end{aligned}$$

- ・ 各項の計算は、分布の形が分かっているのて、やけいぼできる。
  - ・  $\mathcal{L}[q]$  の最初の3項：データに対する当てはまり具合や、分布  $q_f(s)$  の望ましさを表す。
  - ・  $\mathcal{L}[q]$  の最後の2項： $q_f(\lambda), q_f(\pi)$  が事前分布  $p(\lambda), p(\pi)$  から大きく離れるのを防ぐ“正則化項”。
- 変分推論アルゴリズムは、自然に過適合を防ぐようになっている！



### 4.3.4 崩壊型 Gibbs サンプリング

- まずは, 同時分布  $p(S, \pi, \lambda, \mathcal{X})$  から, 分布のパラメータ  $\pi, \lambda$  を周辺化により除去する:

$$p(S, \mathcal{X}) = \int p(S, \pi, \lambda, \mathcal{X}) d\lambda d\pi.$$

→  $S$  は  $p(S | \mathcal{X})$  からサンプリングすればよい.

パラメータの事後分布などは, サンプリングされた  $S$  から計算可能.

- 周辺化後は, 各  $S_n$  が互いに依存関係をもってしまう..

(各  $S_n$  は  $\pi$ : given のもとでは条件付き独立であった)

→ 全ての  $S_n$  を同時にサンプリングするのは計算量的にキツイ:

$S = \{S_1, \dots, S_N\} \subseteq \{0, 1\}^K$  のとりうる組合せ数:  $K^N$  通り.

→ 周辺化後のモデルの事後分布  $p(S | \mathcal{X})$  に対し, Gibbs

サンプリングを適用して, 各  $S_n$  をはらばらにサンプルする.

$$\circ S_{in}^{(i)} := \{S_1^{(i)}, \dots, S_{n-1}^{(i)}, S_{n+1}^{(i-1)}, \dots, S_N^{(i-1)}\},$$

$\mathcal{X}_{in} := \{\mathcal{X}_1, \dots, \mathcal{X}_{n-1}, \mathcal{X}_{n+1}, \dots, \mathcal{X}_N\}$  とする.

$$S_n^{(i)} \sim p(S_n | \mathcal{X}, S_{in}^{(i)}) \text{ とした.}$$

→  $p(S_n | \mathcal{X}, S_{in}^{(i)})$  を計算していく.

$$\begin{aligned}
& \cdot p(s_n | \mathcal{X}, \mathcal{S}_{in}^{(i)}) \\
& \quad \downarrow \text{Bayes' Thm.} \\
& \propto p(s_n, \mathcal{X}, \mathcal{S}_{in}^{(i)}) \\
& \quad \downarrow \mathcal{X} = \mathcal{X}_{in} \cup \{x_n\} \quad \text{グラフイカルモデルを考えると} \\
& = p(x_n, \mathcal{X}_{in}, s_n, \mathcal{S}_{in}^{(i)}) \quad \downarrow \text{乗法則} \quad \begin{array}{l} \mathcal{S}_{in} \text{ は } \mathcal{X}_{in} \text{ の各 } x \text{ と条件付き独立} \\ \text{だと仮定する。} \end{array} \\
& = p(x_n | \mathcal{X}_{in}, s_n, \mathcal{S}_{in}^{(i)}) p(\mathcal{X}_{in} | s_n, \mathcal{S}_{in}^{(i)}) p(s_n | \mathcal{S}_{in}^{(i)}) p(\mathcal{S}_{in}^{(i)}) \\
& = p(x_n | \mathcal{X}_{in}, s_n, \mathcal{S}_{in}^{(i)}) \underbrace{p(\mathcal{X}_{in} | \mathcal{S}_{in}^{(i)})}_{\mathcal{S}_{in} \text{ に依存しない}} p(s_n | \mathcal{S}_{in}^{(i)}) \underbrace{p(\mathcal{S}_{in}^{(i)})}_{\mathcal{S}_{in} \text{ に依存しない}} \\
& \propto p(x_n | \mathcal{X}_{in}, s_n, \mathcal{S}_{in}^{(i)}) p(s_n | \mathcal{S}_{in}^{(i)}).
\end{aligned}$$

$p(s_n | \mathcal{S}_{in}^{(i)})$  は,  $\mathcal{S}_{in}^{(i)}$ : given のときの  $s_n$  の予測分布と解釈可能:

$$p(s_n | \mathcal{S}_{in}^{(i)}) = \int p(s_n | \pi) p(\pi | \mathcal{S}_{in}^{(i)}) d\pi.$$

$p(\pi | \mathcal{S}_{in}^{(i)})$  は  $\mathcal{S}_{in}^{(i)}$ : given のときの「 $\pi$  の事後分布」。

この計算は “3.2.2 カテゴリ分布の学習と予測” で既にやった!

$$\therefore p(\pi | \mathcal{S}_{in}^{(i)}) = \text{Dir}(\pi | \hat{\alpha}_{in}^{(i)}),$$

$$\hat{\alpha}_{in,k}^{(i)} := \sum_{n'=1}^{n-1} s_{n',k}^{(i)} + \sum_{n'=n+1}^N s_{n',k}^{(i-1)} + \alpha_k \quad (k=1, \dots, K).$$

よって, “3.2.2 カテゴリ分布の学習と予測” の予測分布の結果より,

$$p(s_n | \mathcal{S}_{in}^{(i)}) = \int \text{Cat}(s_n | \pi) \text{Dir}(\pi | \hat{\alpha}_{in}^{(i)}) d\pi$$

$$= \text{Cat}(s_n | \eta_{in}),$$

$$\eta_{in,k} \propto \hat{\alpha}_{in,k}^{(i)}, \quad \sum_{k=1}^K \eta_{in,k} = 1.$$

•  $p(x_n | \mathcal{X}_{in}, s_n, S_{in}^{(i)})$  は,  $\mathcal{X}_{in}, S_{in}^{(i)}$  : given するときの  $x_n$  の

予測分布のようなもの:

$$p(x_n | \mathcal{X}_{in}, s_n, S_{in}^{(i)}) = \int p(x_n | s_n, \lambda) p(\lambda | \mathcal{X}_{in}, S_{in}^{(i)}) d\lambda.$$

$p(\lambda | \mathcal{X}_{in}, S_{in}^{(i)})$  は  $\mathcal{X}_{in}, S_{in}^{(i)}$  : given するときの「 $\lambda$  の事後分布」.

$$p(\lambda | \mathcal{X}_{in}, S_{in}^{(i)}) \propto p(\lambda, \mathcal{X}_{in}, S_{in}^{(i)})$$

$$= p(\mathcal{X}_{in} | S_{in}^{(i)}, \lambda) p(S_{in}^{(i)} | \lambda) p(\lambda) \quad \downarrow \text{独立性}$$

$$= p(\mathcal{X}_{in} | S_{in}^{(i)}, \lambda) \underbrace{p(S_{in}^{(i)})}_{\lambda \text{ によらない}} p(\lambda)$$

$$\propto p(\mathcal{X}_{in} | S_{in}^{(i)}, \lambda) p(\lambda).$$

$$\log p(\mathcal{X}_{in} | S_{in}^{(i)}, \lambda) p(\lambda)$$

$$= \log p(\mathcal{X}_{in} | S_{in}^{(i)}, \lambda) + \log p(\lambda)$$

$$= \sum_{n'=1}^{n-1} \log p(x_{n'} | s_{n'}^{(i)}, \lambda) + \sum_{n'=n+1}^N \log p(x_{n'} | s_{n'}^{(i-1)}, \lambda) + \log p(\lambda)$$

$$= \sum_{n'=1}^{n-1} \sum_{k=1}^K s_{n',k}^{(i)} \log \text{Poi}(x_{n'} | \lambda_k) + \sum_{n'=n+1}^N \sum_{k=1}^K s_{n',k}^{(i-1)} \log \text{Poi}(x_{n'} | \lambda_k)$$

$$+ \sum_{k=1}^K \log \text{Gam}(\lambda_k | a, b)$$

$$= \sum_{k=1}^K \left( \sum_{n'=1}^{n-1} s_{n',k}^{(i)} (x_{n'} \log \lambda_k - \lambda_k) + \sum_{n'=n+1}^N s_{n',k}^{(i-1)} (x_{n'} \log \lambda_k - \lambda_k) \right. \\ \left. + (a-1) \log \lambda_k - b \lambda_k \right) + \text{const.}$$

$$= \sum_{k=1}^K \left( \left( \sum_{n'=1}^{n-1} S_{n',k}^{(\bar{i})} x_{n'} + \sum_{n'=n+1}^N S_{n',k}^{(\bar{i}-1)} x_{n'} + a - 1 \right) \log \lambda_k \right. \\ \left. - \left( \sum_{n'=1}^{n-1} S_{n',k}^{(\bar{i})} + \sum_{n'=n+1}^N S_{n',k}^{(\bar{i}-1)} + b \right) \lambda_k \right) + \text{const.}$$

↳ パラメータ分布の pdf の対数をとった形

$$\therefore p(\lambda | \mathcal{X}_{in}, \mathcal{S}_{in}^{(\bar{i})}) = \prod_{k=1}^K \text{Gam}(\lambda_k | \hat{a}_{in,k}^{(\bar{i})}, \hat{b}_{in,k}^{(\bar{i})}),$$

$$\hat{a}_{in,k}^{(\bar{i})} := \sum_{n'=1}^{n-1} S_{n',k}^{(\bar{i})} x_{n'} + \sum_{n'=n+1}^N S_{n',k}^{(\bar{i}-1)} x_{n'} + a,$$

$$\hat{b}_{in,k}^{(\bar{i})} := \sum_{n'=1}^{n-1} S_{n',k}^{(\bar{i})} + \sum_{n'=n+1}^N S_{n',k}^{(\bar{i}-1)} + b$$

と書ける。これをを用いて、 $\lambda$  を積分除去し、 $p(x_n | \mathcal{X}_{in}, \mathcal{S}_n, \mathcal{S}_{in}^{(\bar{i})})$  を計算する。とくに、 $\mathcal{S}_n = (0, \dots, \overset{\downarrow k}{1}, \dots, 0)^T$  ( $S_{n,k} = 1$ ) とすると、

$$p(x_n | \mathcal{X}_{in}, S_{n,k} = 1, \mathcal{S}_{in}^{(\bar{i})}) \\ = \int p(x_n | \lambda_k) p(\lambda_k | \mathcal{X}_{in}, \mathcal{S}_{in}^{(\bar{i})}) d\lambda_k \\ = \int \text{Poi}(x_n | \lambda_k) \text{Gam}(\lambda_k | \hat{a}_{in,k}^{(\bar{i})}, \hat{b}_{in,k}^{(\bar{i})}) d\lambda_k \quad \begin{array}{l} \text{3.2.32 以下} \\ \text{予測分布の計算} \end{array} \\ = \text{NB}(x_n | \hat{a}_{in,k}^{(\bar{i})}, (\hat{b}_{in,k}^{(\bar{i})} + 1)^{-1}).$$

よって、

$$p(x_n | \mathcal{X}_{in}, \mathcal{S}_n, \mathcal{S}_{in}^{(\bar{i})}) \\ = \int p(x_n | \mathcal{S}_n, \lambda) p(\lambda | \mathcal{X}_{in}, \mathcal{S}_{in}^{(\bar{i})}) d\lambda \\ = \int \prod_{k=1}^K \text{Poi}(x_n | \lambda_k)^{S_{n,k}} \text{Gam}(\lambda_k | \hat{a}_{in,k}^{(\bar{i})}, \hat{b}_{in,k}^{(\bar{i})}) d\lambda$$

$$\begin{aligned}
&= \prod_{k=1}^K \int \text{Poi}(x_n | \lambda_k)^{S_{n,k}} \text{Gam}(\lambda_k | \hat{a}_{i,n,k}^{(\bar{i})}, \hat{b}_{i,n,k}^{(\bar{i})}) d\lambda_k \quad \begin{array}{l} S_{n,k}=1 \text{ と } 2, 3, \dots \text{ は} \\ \rightarrow \text{ } \bar{i} \text{ の } \bar{i}. \end{array} \\
&= \prod_{k=1}^K \left( \int \text{Poi}(x_n | \lambda_k) \text{Gam}(\lambda_k | \hat{a}_{i,n,k}^{(\bar{i})}, \hat{b}_{i,n,k}^{(\bar{i})}) d\lambda_k \right)^{S_{n,k}} \\
&= \prod_{k=1}^K \text{NB}(x_n | \hat{a}_{i,n,k}^{(\bar{i})}, (\hat{b}_{i,n,k}^{(\bar{i})} + 1)^{-1})^{S_{n,k}}.
\end{aligned}$$

•  $\log p(s_n | \mathcal{X}, S_{i,n}^{(\bar{i})})$

$$\begin{aligned}
&= \log p(x_n | \mathcal{X}_{i,n}, s_n, S_{i,n}^{(\bar{i})}) + \log p(s_n | S_{i,n}^{(\bar{i})}) + \text{const.} \\
&= \sum_{k=1}^K s_{n,k} \log \text{NB}(x_n | \hat{a}_{i,n,k}^{(\bar{i})}, (\hat{b}_{i,n,k}^{(\bar{i})} + 1)^{-1}) + \sum_{k=1}^K s_{n,k} \log \eta_{i,n,k} + \text{const.} \\
&= \sum_{k=1}^K s_{n,k} \log \eta_{i,n,k} \text{NB}(x_n | \hat{a}_{i,n,k}^{(\bar{i})}, (\hat{b}_{i,n,k}^{(\bar{i})} + 1)^{-1}) + \text{const.} \\
&= \sum_{k=1}^K s_{n,k} \log \hat{\alpha}_{i,n,k}^{(\bar{i})} \text{NB}(x_n | \hat{a}_{i,n,k}^{(\bar{i})}, (\hat{b}_{i,n,k}^{(\bar{i})} + 1)^{-1}) + \text{const.} \quad \begin{array}{l} \eta_{i,n,k} \propto \hat{\alpha}_{i,n,k}^{(\bar{i})} \end{array}
\end{aligned}$$

カテゴリ分布の pmf. の対数をとったもの.

以上より、 $S_n^{(\bar{i})}$  のサマリー統計は、次のように行えるよ!!:

$$S_n^{(\bar{i})} \sim p(s_n | \mathcal{X}, S_{i,n}^{(\bar{i})}) = \text{Cat}(s_n | \zeta_{i,n}),$$

$$\zeta_{i,n,k} \propto \hat{\alpha}_{i,n,k}^{(\bar{i})} \text{NB}(x_n | \hat{a}_{i,n,k}^{(\bar{i})}, (\hat{b}_{i,n,k}^{(\bar{i})} + 1)^{-1}), \quad \sum_{k=1}^K \zeta_{i,n,k} = 1.$$

• 次に成り立っていることに注意する.

•  $\hat{\alpha}_{i,(n+1),k}^{(\bar{i})}$

$$= \sum_{n'=1}^n S_{n',k}^{(\bar{i})} + \sum_{n'=n+2}^N S_{n',k}^{(\bar{i}-1)} + \alpha_k = \sum_{n'=1}^{n-1} S_{n',k}^{(\bar{i})} + \sum_{n'=n+1}^N S_{n',k}^{(\bar{i}-1)} + \alpha_k + S_{n,k}^{(\bar{i})} - S_{n+1,k}^{(\bar{i}-1)}$$

$$= \hat{\alpha}_{i,n,k}^{(\bar{i})} + S_{n,k}^{(\bar{i})} - S_{n+1,k}^{(\bar{i}-1)}. \quad (n=1, \dots, N-1)$$

$$\begin{aligned} & \hat{\alpha}_{1,k}^{(\bar{i})} \\ &= \sum_{n'=2}^N S_{n',k}^{(\bar{i}-1)} + \alpha_k = \sum_{n'=1}^{N-1} S_{n',k}^{(\bar{i}-1)} + \alpha_k + S_{N,k}^{(\bar{i}-1)} - S_{1,k}^{(\bar{i}-1)} \\ &= \hat{\alpha}_{1,N,k}^{(\bar{i}-1)} + S_{N,k}^{(\bar{i}-1)} - S_{1,k}^{(\bar{i}-1)} \end{aligned}$$

$$\begin{aligned} & \hat{a}_{1,(n+1),k}^{(\bar{i})} \\ &= \sum_{n'=1}^n S_{n',k}^{(\bar{i})} x_{n'} + \sum_{n'=n+2}^N S_{n',k}^{(\bar{i}-1)} x_{n'} + a \\ &= \sum_{n'=1}^{n-1} S_{n',k}^{(\bar{i})} x_{n'} + \sum_{n'=n+1}^N S_{n',k}^{(\bar{i}-1)} x_{n'} + a + S_{n,k}^{(\bar{i})} x_n - S_{n+1,k}^{(\bar{i}-1)} x_{n+1} \\ &= \hat{a}_{1,n,k}^{(\bar{i})} + S_{n,k}^{(\bar{i})} x_n - S_{n+1,k}^{(\bar{i}-1)} x_{n+1}. \quad (n=1, \dots, N-1) \end{aligned}$$

$$\begin{aligned} & \hat{a}_{1,k}^{(\bar{i})} \\ &= \sum_{n'=2}^N S_{n',k}^{(\bar{i}-1)} x_{n'} + a \\ &= \sum_{n'=1}^{N-1} S_{n',k}^{(\bar{i}-1)} x_{n'} + a + S_{N,k}^{(\bar{i}-1)} x_N - S_{1,k}^{(\bar{i}-1)} x_1 \\ &= \hat{a}_{1,N,k}^{(\bar{i}-1)} + S_{N,k}^{(\bar{i}-1)} x_N - S_{1,k}^{(\bar{i}-1)} x_1 \end{aligned}$$

$$\begin{aligned} & \hat{b}_{1,(n+1),k}^{(\bar{i})} \\ &= \sum_{n'=1}^n S_{n',k}^{(\bar{i})} + \sum_{n'=n+2}^N S_{n',k}^{(\bar{i}-1)} + b \\ &= \sum_{n'=1}^{n-1} S_{n',k}^{(\bar{i})} + \sum_{n'=n+1}^N S_{n',k}^{(\bar{i}-1)} + b + S_{n,k}^{(\bar{i})} - S_{n+1,k}^{(\bar{i}-1)} \\ &= \hat{b}_{1,n,k}^{(\bar{i})} + S_{n,k}^{(\bar{i})} - S_{n+1,k}^{(\bar{i}-1)}. \quad (n=1, \dots, N-1) \end{aligned}$$

$$\begin{aligned}
& \hat{b}_{1,k}^{(i)} \\
&= \sum_{n'=2}^N S_{n',k}^{(i-1)} + b \\
&= \sum_{n'=1}^{N-1} S_{n',k}^{(i-1)} + b + S_{N,k}^{(i-1)} - S_{1,k}^{(i-1)} \\
&= \hat{b}_{N,k}^{(i-1)} + S_{N,k}^{(i-1)} - S_{1,k}^{(i-1)}.
\end{aligned}$$

・実装上は、上記に注意することで、計算速度とメモリの面で効率的。

崩壊型 Gibbs サンプリングのアルゴリズムを以下にまとめる：

$S = \{s_1^{(0)}, \dots, s_N^{(0)}\}$  を initialize;

for  $k = 1, \dots, K$  do

$$\hat{\alpha}_k := \sum_{n=1}^N S_{n,k}^{(0)} + \alpha_k;$$

$$\hat{a}_k := \sum_{n=1}^N S_{n,k}^{(0)} x_n + a;$$

$$\hat{b}_k := \sum_{n=1}^N S_{n,k}^{(0)} + b$$

end for;

for  $i = 1, \dots, N_{\max}$  do ← 適当に上限を設けている

for  $n = 1, \dots, N$  do

for  $k = 1, \dots, K$  do

$$\hat{\alpha}_k := \hat{\alpha}_k - S_{n,k}^{(i-1)}; \hat{a}_k := \hat{a}_k - S_{n,k}^{(i-1)} x_n; \hat{b}_k := \hat{b}_k - S_{n,k}^{(i-1)}$$

end for;

for  $k = 1, \dots, K$  do

$$\zeta_k := \hat{\alpha}_k \text{NB}(x_n | \hat{\alpha}_k, (\hat{b}_k + 1)^{-1})$$

end for;

$$\sum_{k=1}^K \zeta_k = 1 \text{ となるので } \zeta \text{ は正規化;}$$

$$s_n^{(i)} \sim \text{Cat}(s_n | \zeta);$$

for  $k = 1, \dots, K$  do

$$\hat{\alpha}_k := \hat{\alpha}_k + s_{n,k}^{(i)}; \quad \hat{a}_k := \hat{a}_k + s_{n,k}^{(i)} x_n; \quad \hat{b}_k := \hat{b}_k + s_{n,k}^{(i)}$$

end for

end for

end for.



## §4.4 Gauss混合モデルにおける推論

### 4.4.1 Gauss混合モデル

- $K$ クラスがある  $D$ -次元データの生成過程を表現.
- $\mu := \{\mu_1, \dots, \mu_K\}$ ,  $\Lambda := \{\Lambda_1, \dots, \Lambda_K\}$ ,  $\theta_k := \{\mu_k, \Lambda_k\}$ : パラメータ.  
クラス  $k$  に対する観測モデル:  $p(x_n | \theta_k) := \mathcal{N}(x_n | \mu_k, \Lambda_k^{-1})$

→ 混合分布における条件付き分布は,

$$p(x_n | s_n, \mu, \Lambda) = \prod_{k=1}^K \mathcal{N}(x_n | \mu_k, \Lambda_k^{-1})^{s_{n,k}}$$

$s_n$  により,  $K$  の Gauss 分布の一つが指定される.

- $\mu, \Lambda$  に対して, 事前分布を設定する.

Gauss 分布の共役事前分布 → Gauss-Wishart 分布.

$$\begin{aligned} p(\mu_k, \Lambda_k) &:= \text{NW}(\mu_k, \Lambda_k | m, \beta, \nu, W) \\ &= \mathcal{N}(\mu_k | m, (\beta \Lambda_k)^{-1}) \mathcal{W}(\Lambda_k | \nu, W) \end{aligned}$$

クラスごとに  
違うパラメータに  
してよ

$m \in \mathbb{R}^D, \beta \in \mathbb{R}_{>0}, \nu > D - 1, W \in M_D(\mathbb{R}), W > 0$ : 11111 - パラメータ.

- $s$  に対する事前分布は,  $p(s_n | \pi) := \text{Cat}(s_n | \pi)$ ,

$\pi$  に対する事前分布は,  $p(\pi) := \text{Dir}(\pi | \alpha)$

( $\alpha$ : 11111 - パラメータ) と設定する.

## 4.4.2 Gibbs サンプルング

- 事後分布  $p(S, \mu, \Lambda, \pi | \mathcal{X})$  からサンプルングをする。

次のように、パラメータと潜在変数を分けてサンプルング:

$$S^{(i)} \sim p(S | \mu^{(i-1)}, \Lambda^{(i-1)}, \pi^{(i-1)}, \mathcal{X}) \quad (1)$$

$$\mu^{(i)}, \Lambda^{(i)}, \pi^{(i)} \sim p(\mu, \Lambda, \pi | S^{(i)}, \mathcal{X}) \quad (2)$$

- (1) により,  $p(S | \mu^{(i-1)}, \Lambda^{(i-1)}, \pi^{(i-1)}, \mathcal{X})$  を求める。

$$\begin{aligned} & p(S | \mu^{(i-1)}, \Lambda^{(i-1)}, \pi^{(i-1)}, \mathcal{X}) \\ & \propto p(S, \mu^{(i-1)}, \Lambda^{(i-1)}, \pi^{(i-1)}, \mathcal{X}) \\ & = p(\mathcal{X} | S, \mu^{(i-1)}, \Lambda^{(i-1)}, \pi^{(i-1)}) p(S | \mu^{(i-1)}, \Lambda^{(i-1)}, \pi^{(i-1)}) \\ & \quad \times \underbrace{p(\mu^{(i-1)}, \Lambda^{(i-1)}, \pi^{(i-1)})}_{\substack{\mu, \Lambda, \pi \text{ は独立} \\ \downarrow \text{独立性}}} \\ & \propto p(\mathcal{X} | S, \mu^{(i-1)}, \Lambda^{(i-1)}) p(S | \pi^{(i-1)}) \\ & = \prod_{n=1}^N p(x_n | s_n, \mu^{(i-1)}, \Lambda^{(i-1)}) p(s_n | \pi^{(i-1)}) \end{aligned}$$

$\rightarrow \mu^{(i-1)}, \Lambda^{(i-1)}, \pi^{(i-1)}, \mathcal{X}$ : given  $z$ , 各  $s_n$  は条件付き独立。

- $$\begin{aligned} & \log p(x_n | s_n, \mu^{(i-1)}, \Lambda^{(i-1)}) \\ & = \sum_{k=1}^K s_{n,k} \log \mathcal{N}(x_n | \mu_k^{(i-1)}, (\Lambda_k^{(i-1)})^{-1}) \\ & = \sum_{k=1}^K s_{n,k} \left( -\frac{1}{2} (x_n - \mu_k^{(i-1)})^T \Lambda_k^{(i-1)} (x_n - \mu_k^{(i-1)}) + \frac{1}{2} \log(\det \Lambda_k^{(i-1)}) \right) + \text{const} \end{aligned}$$

↳  $S_n$  のサンプルングを  
考えればよい。

$$\cdot \log p(\mathbf{s}_n | \boldsymbol{\pi}^{(i-1)}) = \log \text{Cat}(\mathbf{s}_n | \boldsymbol{\pi}^{(i-1)}) = \sum_{k=1}^K s_{n,k} \log \pi_k.$$

であった。

$$\begin{aligned} & \log p(\boldsymbol{x}_n | \mathbf{s}_n, \boldsymbol{\mu}^{(i-1)}, \boldsymbol{\Lambda}^{(i-1)}) p(\mathbf{s}_n | \boldsymbol{\pi}^{(i-1)}) \\ &= \log p(\boldsymbol{x}_n | \mathbf{s}_n, \boldsymbol{\mu}^{(i-1)}, \boldsymbol{\Lambda}^{(i-1)}) + \log p(\mathbf{s}_n | \boldsymbol{\pi}^{(i-1)}) \\ &= \sum_{k=1}^K s_{n,k} \left( -\frac{1}{2} (\boldsymbol{x}_n - \boldsymbol{\mu}_k^{(i-1)})^T \boldsymbol{\Lambda}_k^{(i-1)} (\boldsymbol{x}_n - \boldsymbol{\mu}_k^{(i-1)}) \right. \\ & \quad \left. + \frac{1}{2} \log(\det \boldsymbol{\Lambda}_k^{(i-1)}) + \log \pi_k \right) + \text{const.} \end{aligned}$$

制約  $\sum_{k=1}^K s_{n,k} = 1$  を考慮すると、これは  $\mathbf{s}_n$  に関する

カテゴリ分布 (の定数倍) の対数をとったもの。

$$\therefore \mathbf{s}_n^{(i)} \sim \text{Cat}(\mathbf{s}_n | \boldsymbol{\eta}_n^{(i)}),$$

$$\begin{aligned} \boldsymbol{\eta}_{n,k}^{(i)} &\propto \exp\left(-\frac{1}{2} (\boldsymbol{x}_n - \boldsymbol{\mu}_k^{(i-1)})^T \boldsymbol{\Lambda}_k^{(i-1)} (\boldsymbol{x}_n - \boldsymbol{\mu}_k^{(i-1)}) \right. \\ & \quad \left. + \frac{1}{2} \log(\det \boldsymbol{\Lambda}_k^{(i-1)}) + \log \pi_k \right), \end{aligned}$$

$$\sum_{k=1}^K \boldsymbol{\eta}_{n,k}^{(i)} = 1.$$

◦ (2) により、 $p(\boldsymbol{\mu}, \boldsymbol{\Lambda}, \boldsymbol{\pi} | \mathcal{S}^{(i)}, \mathcal{X})$  を求める。

$$p(\boldsymbol{\mu}, \boldsymbol{\Lambda}, \boldsymbol{\pi} | \mathcal{S}^{(i)}, \mathcal{X})$$

$$\propto p(\boldsymbol{\mu}, \boldsymbol{\Lambda}, \boldsymbol{\pi}, \mathcal{S}^{(i)}, \mathcal{X})$$

$$= p(\mathcal{X} | \boldsymbol{\mu}, \boldsymbol{\Lambda}, \boldsymbol{\pi}, \mathcal{S}^{(i)}) p(\mathcal{S}^{(i)} | \boldsymbol{\mu}, \boldsymbol{\Lambda}, \boldsymbol{\pi}) p(\boldsymbol{\mu}, \boldsymbol{\Lambda} | \boldsymbol{\pi}) p(\boldsymbol{\pi})$$

独立性 ↓

$$= p(\mathcal{X} | S^{(i)}, \mu, \Lambda) p(S^{(i)} | \pi) p(\mu, \Lambda) p(\pi)$$

$$= \frac{p(\mathcal{X} | S^{(i)}, \mu, \Lambda) p(\mu, \Lambda)}{\mu, \Lambda \text{ に関する項}} \frac{p(S^{(i)} | \pi) p(\pi)}{\pi \text{ に関する項}}$$

→  $S^{(i)}, \mathcal{X}$ : given のもとで,  $(\mu, \Lambda)$  と  $\pi$  は条件付き独立:

$$p(\mu, \Lambda | S^{(i)}, \mathcal{X}) \propto p(\mathcal{X} | S^{(i)}, \mu, \Lambda) p(\mu, \Lambda),$$

$$p(\pi | S^{(i)}, \mathcal{X}) \propto p(S^{(i)} | \pi) p(\pi),$$

$$p(\mu, \Lambda, \pi | S^{(i)}, \mathcal{X}) = p(\mu, \Lambda | S^{(i)}, \mathcal{X}) p(\pi | S^{(i)}, \mathcal{X}).$$

$$\cdot \log p(\mu, \Lambda | S^{(i)}, \mathcal{X})$$

$$= \log p(\mathcal{X} | S^{(i)}, \mu, \Lambda) + \log p(\mu, \Lambda) + \text{const.}$$

$$= \sum_{n=1}^N \log p(\mathcal{X}_n | S_n^{(i)}, \mu, \Lambda) + \sum_{k=1}^K \log p(\mu_k, \Lambda_k) + \text{const.}$$

$$= \sum_{n=1}^N \sum_{k=1}^K S_{n,k}^{(i)} \log \mathcal{N}(\mathcal{X}_n | \mu_k, \Lambda_k^{-1}) + \sum_{k=1}^K \log \text{NW}(\mu_k, \Lambda_k | m, \beta, \nu, W) + \text{const.}$$

$$= \sum_{k=1}^K \left( \sum_{n=1}^N S_{n,k}^{(i)} \log \mathcal{N}(\mathcal{X}_n | \mu_k, \Lambda_k^{-1}) + \log \text{NW}(\mu_k, \Lambda_k | m, \beta, \nu, W) \right) + \text{const.}$$

$$\rightarrow p(\mu, \Lambda | S^{(i)}, \mathcal{X}) = \prod_{k=1}^K p(\mu_k, \Lambda_k | S^{(i)}, \mathcal{X}),$$

$$\log p(\mu_k, \Lambda_k | S^{(i)}, \mathcal{X})$$

← 条件付き独立

$$= \sum_{n=1}^N S_{n,k}^{(i)} \log \mathcal{N}(\mathcal{X}_n | \mu_k, \Lambda_k^{-1}) + \log \text{NW}(\mu_k, \Lambda_k | m, \beta, \nu, W) + \text{const.}$$

$$p(\mu_k, \Lambda_k | S^{(i)}, \mathcal{X}) = p(\mu_k | \Lambda_k, S^{(i)}, \mathcal{X}) p(\Lambda_k | S^{(i)}, \mathcal{X}) \quad (*)$$

であるから、Gauss-Wishart分布の推論をこのように、

$\mu_k$  の分布を求めるときは  $\Lambda_k$  の分布を求めよう。

$$\begin{aligned} & \log p(\mu_k, \Lambda_k | S^{(i)}, \mathcal{X}) \quad (= \log p(\mu_k | \Lambda_k, S^{(i)}, \mathcal{X}) + \text{const.}) \\ &= -\frac{1}{2} \sum_{n=1}^N S_{n,k}^{(i)} \left( (\mathcal{X}_n - \mu_k)^T \Lambda_k (\mathcal{X}_n - \mu_k) - \log(\det \Lambda_k) \right) \\ & \quad + \log \mathcal{N}(\mu_k | \text{im}, (\beta \Lambda_k)^{-1}) + \log \mathcal{W}(\Lambda_k | \nu, W) + \text{const.} \\ &= -\frac{1}{2} \sum_{n=1}^N S_{n,k}^{(i)} (\mathcal{X}_n - \mu_k)^T \Lambda_k (\mathcal{X}_n - \mu_k) \\ & \quad - \frac{1}{2} \left( \beta (\mu_k - \text{im})^T \Lambda_k (\mu_k - \text{im}) - \log(\det(\beta \Lambda_k)) \right) + \text{const.} \\ &= -\frac{1}{2} \left( \sum_{n=1}^N S_{n,k}^{(i)} \left( \mathcal{X}_n^T \Lambda_k \mathcal{X}_n - 2 \mu_k^T \Lambda_k \mathcal{X}_n + \mu_k^T \Lambda_k \mu_k \right) \right. \\ & \quad \left. + \beta \left( \mu_k^T \Lambda_k \mu_k - 2 \mu_k^T \Lambda_k \text{im} + \text{im}^T \Lambda_k \text{im} \right) \right) + \text{const.} \\ &= -\frac{1}{2} \left( \mu_k^T \left( \sum_{n=1}^N S_{n,k}^{(i)} + \beta \right) \Lambda_k \mu_k - 2 \mu_k^T \Lambda_k \left( \sum_{n=1}^N S_{n,k}^{(i)} \mathcal{X}_n + \beta \text{im} \right) \right) + \text{const.} \end{aligned}$$

$$\therefore \mu_k^{(i)} \sim p(\mu_k | \Lambda_k, S^{(i)}, \mathcal{X}) = \mathcal{N}(\mu_k | \hat{\text{im}}_k, (\hat{\beta}_k \Lambda_k)^{-1}),$$

$$\hat{\beta}_k := \sum_{n=1}^N S_{n,k}^{(i)} + \beta, \quad \hat{\text{im}}_k := \hat{\beta}_k^{-1} \left( \sum_{n=1}^N S_{n,k}^{(i)} \mathcal{X}_n + \beta \text{im} \right).$$

$$\cdot p(\Lambda_k | S^{(i)}, \mathcal{X}) \text{ を求めよう。} (*) \text{ より}$$

$$\log p(\Lambda_k | S^{(i)}, \mathcal{X})$$

$$\begin{aligned}
&= \log p(\mu_k, \Lambda_k | S^{(i)}, \mathcal{X}) - \log p(\mu_k | \Lambda_k, S^{(i)}, \mathcal{X}) \\
&= -\frac{1}{2} \sum_{n=1}^N S_{n,k}^{(i)} \left( (\mathbf{x}_n - \mu_k)^T \Lambda_k (\mathbf{x}_n - \mu_k) - \log(\det \Lambda_k) \right) \\
&\quad - \frac{1}{2} \left( \beta (\mu_k - \mathbf{1}m)^T \Lambda_k (\mu_k - \mathbf{1}m) - \log(\det(\beta \Lambda_k)) \right) \\
&\quad + \log \mathcal{W}(\Lambda_k | \nu, W) - \log \mathcal{N}(\mu_k | \hat{\mathbf{1}}m_k, (\hat{\beta}_k \Lambda_k)^{-1}) + \text{Const.} \\
&= -\frac{1}{2} \left( \mu_k^T \left( \sum_{n=1}^N S_{n,k}^{(i)} + \beta \right) \Lambda_k \mu_k - 2 \mu_k^T \Lambda_k \left( \sum_{n=1}^N S_{n,k}^{(i)} \mathbf{x}_n + \beta \mathbf{1}m \right) \right) \\
&\quad - \frac{1}{2} \sum_{n=1}^N S_{n,k}^{(i)} \mathbf{x}_n^T \Lambda_k \mathbf{x}_n - \frac{1}{2} \beta \mathbf{1}m^T \Lambda_k \mathbf{1}m \\
&\quad + \frac{1}{2} \sum_{n=1}^N S_{n,k}^{(i)} \log(\det \Lambda_k) + \frac{1}{2} \log(\det \Lambda_k) + \frac{1}{2} D \log \beta \\
&\quad + \frac{\nu - D - 1}{2} \log(\det \Lambda_k) - \frac{1}{2} \text{tr}(W^{-1} \Lambda_k) \quad \leftarrow \log \mathcal{W}(\Lambda_k | \nu, W) \text{ part} \\
&\quad + \frac{1}{2} \left( (\mu_k - \hat{\mathbf{1}}m_k)^T (\hat{\beta}_k \Lambda_k) (\mu_k - \hat{\mathbf{1}}m_k) - \log(\det(\hat{\beta}_k \Lambda_k)) \right) + \text{Const.} \\
&= -\frac{1}{2} \left( \mu_k^T (\hat{\beta}_k \Lambda_k) \mu_k - 2 \mu_k^T (\hat{\beta}_k \Lambda_k) \hat{\mathbf{1}}m_k \right) \\
&\quad - \frac{1}{2} \left( \text{tr} \left( \sum_{n=1}^N S_{n,k}^{(i)} \mathbf{x}_n \mathbf{x}_n^T \Lambda_k \right) + \text{tr}(\beta \mathbf{1}m \mathbf{1}m^T \Lambda_k) \right) \\
&\quad + \frac{1}{2} \sum_{n=1}^N S_{n,k}^{(i)} \log(\det \Lambda_k) + \frac{1}{2} \log(\det \Lambda_k) \\
&\quad + \frac{\nu - D - 1}{2} \log(\det \Lambda_k) - \frac{1}{2} \text{tr}(W^{-1} \Lambda_k) \\
&\quad + \frac{1}{2} \left( \mu_k^T (\hat{\beta}_k \Lambda_k) \mu_k - 2 \mu_k^T (\hat{\beta}_k \Lambda_k) \hat{\mathbf{1}}m_k + \hat{\mathbf{1}}m_k^T (\hat{\beta}_k \Lambda_k) \hat{\mathbf{1}}m_k \right) \\
&\quad - \frac{1}{2} \log(\det \Lambda_k) - \frac{1}{2} D \log \hat{\beta}_k + \text{Const.}
\end{aligned}$$

前ハミルトン形式を用いた計算

$$= \frac{1}{2} \left( \sum_{n=1}^N S_{n,k}^{(i)} + \nu - D - 1 \right) \log(\det \Lambda_k) - \frac{1}{2} \text{tr} \left( \left( \sum_{n=1}^N S_{n,k}^{(i)} \mathcal{X}_n \mathcal{X}_n^T + \beta_1 \mathbf{1} \mathbf{1}^T - \hat{\beta}_k \hat{\mathbf{m}}_k \hat{\mathbf{m}}_k^T + W^{-1} \right) \Lambda_k \right) + \text{const.}$$

$$\therefore \Lambda_k^{(i)} \sim p(\Lambda_k | S^{(i)}, \mathcal{X}) = \mathcal{W}(\Lambda_k | \hat{\nu}_k, \hat{W}_k),$$

$$\hat{W}_k^{-1} := \sum_{n=1}^N S_{n,k}^{(i)} \mathcal{X}_n \mathcal{X}_n^T + \beta_1 \mathbf{1} \mathbf{1}^T - \hat{\beta}_k \hat{\mathbf{m}}_k \hat{\mathbf{m}}_k^T + W^{-1},$$

$$\hat{\nu}_k := \sum_{n=1}^N S_{n,k}^{(i)} + \nu.$$

• 以上より, 各  $k$  に対して,

$$\Lambda_k^{(i)} \sim \mathcal{W}(\Lambda_k | \hat{\nu}_k, \hat{W}_k) \text{ としておき,}$$

$$\mu_k^{(i)} \sim \mathcal{N}(\mu_k | \hat{\mathbf{m}}_k, (\hat{\beta}_k \Lambda_k^{(i)})^{-1})$$

とすることで "サンプリング" できる.

$$\circ \pi^{(i)} \sim p(\pi | S^{(i)}, \mathcal{X}) \propto p(S^{(i)} | \pi) p(\pi)$$

であるが, これは Poisson 混合モデルのときに計算済み:

$$\pi^{(i)} \sim \text{Dir}(\pi | \hat{\alpha}), \hat{\alpha}_k := \sum_{n=1}^N S_{n,k}^{(i)} + \alpha_k \quad (k=1, \dots, K).$$

• 以上より, Gibbs サンプリングのアルゴリズムは次のとおり:

$\mu^{(0)}, \Lambda^{(0)}, \pi^{(0)}$  をランダムに生成;  
 for  $i = 1, \dots, N_{\max}$  do  
     for  $n = 1, \dots, N$  do

$$\eta_{n,k} \propto \exp\left(-\frac{1}{2}(\mathcal{X}_n - \mu_k^{(i-1)})^T \Lambda_k^{(i-1)} (\mathcal{X}_n - \mu_k^{(i-1)})\right) + \frac{1}{2} \log(\det \Lambda_k^{(i-1)}) + \log \pi_k \quad (k=1, \dots, K)$$

$$\sum_{k=1}^K \eta_{n,k} = 1 \quad \text{and} \quad \eta_n \in \mathcal{T} < \mathcal{Z};$$

$$s_n^{(i)} \sim \text{Cat}(s_n | \eta_n)$$

end for;

for  $k=1, \dots, K$  do

$$\hat{\beta}_k := \sum_{n=1}^N s_{n,k}^{(i)} + \beta; \quad \hat{m}_k := \hat{\beta}_k^{-1} \left( \sum_{n=1}^N s_{n,k}^{(i)} \mathcal{X}_n + \beta m \right);$$

$$\hat{W}_k^{-1} := \sum_{n=1}^N s_{n,k}^{(i)} \mathcal{X}_n \mathcal{X}_n^T + \beta m m^T - \hat{\beta}_k \hat{m}_k \hat{m}_k^T + W^{-1};$$

$$\hat{\nu}_k := \sum_{n=1}^N s_{n,k}^{(i)} + \nu;$$

$$\Lambda_k^{(i)} \sim \mathcal{W}(\Lambda_k | \hat{\nu}_k, \hat{W}_k);$$

$$\mu_k^{(i)} \sim \mathcal{N}(\mu_k | \hat{m}_k, (\hat{\beta}_k \Lambda_k^{(i)})^{-1})$$

end for;

$$\hat{\alpha}_k := \sum_{n=1}^N s_{n,k}^{(i)} + \alpha_k \quad (k=1, \dots, K) \quad \text{and} \quad \hat{\alpha} \in \mathcal{T} < \mathcal{Z};$$

$$\pi^{(i)} \sim \text{Dir}(\pi | \hat{\alpha})$$

end for.